

МОСКОВСКИЙ ГОСУДАРСТВЕННЫЙ УНИВЕРСИТЕТ
ИМЕНИ М. В. ЛОМОНОСОВА

ФИЗИЧЕСКИЙ ФАКУЛЬТЕТ
КАФЕДРА ФИЗИКИ ЧАСТИЦ И КОСМОЛОГИИ

Курсовая работа
Стерильные нейтрино в ранней Вселенной

Выполнила:

студентка 2 курса 218 группы
Черненко Алина Дмитриевна

Научный руководитель:

д.ф. - м.н., член - корр. РАН
Горбунов Дмитрий Сергеевич

Москва, 2024

Содержание

1. Введение	2
2. Термодинамика в расширяющейся Вселенной	3
2.1. Функции распределения частиц	3
2.2. Плотность числа частиц, плотность энергии и плотность энтропии с учетом химического потенциала μ_i	3
2.3. Эффективные степени свободы	5
2.4. Вывод параметра Хаббла для различных температур из решения уравнения Эйнштейна	6
3. Нейтринные осцилляции в плазме	7
3.1. Механизм смешивания активных нейтрино типа α со стерильными нейтрино в вакууме	7
3.2. Взаимодействие активных нейтрино с плазмой	8
3.3. Лептонная асимметрия и ее вклад в добавочный член $V_{\alpha\alpha}$ взаимодействия ν_α с плазмой	10
3.4. Темп производства стерильных нейтрино	11
4. Стерильные нейтрино как частицы темной материи	12
4.1. Уравнение Больцмана	12
4.2. Спектр стерильных нейтрино при наличии лептонной асимметрии	14
4.3. Получение ограничений на параметры смешивания	14
5. Заключение	18
Литература	19

Глава 1

Введение

Наблюдаемые экспериментально вакуумные осцилляции нейтрино, в отличие от осцилляций в веществе, где можно ввести эффективную массу, не могут быть объяснены в рамках Стандартной модели, где масса нейтрино полагается равной нулю, что говорит о необходимости ее расширения. Одним из методов решающих проблему осцилляций, наличия барионной асимметрии, а также который, при некоторых условиях рассмотренных далее, может служить обоснованием существования теплой темной материи - является введение новых дополнительных частиц, не нарушающих наблюдаемые явления, описываемые Стандартной моделью.

Одними из таких частиц являются стерильные нейтрино - правые фермионы, смешивающиеся с нейтрино Стандартной модели (активными, относительно слабого взаимодействия) и не вступающие во взаимодействие с классическими калибровочными полями Стандартной модели. Важно заметить, что даже в том случае, если введение стерильных нейтрино не решит проблему темной материи, оно все еще будет являться решением большого числа задач необъяснимых в рамках Стандартной модели.

В данной работе будут рассмотрены два аспекта - термодинамика плазмы в расширяющейся Вселенной и механизм осцилляций произвольного активного нейтрино в кэВ-ное стерильное нейтрино в плазме при наличии лептонной асимметрии. С учетом всех полученных величин будет решено уравнение Больцмана и получено распределение стерильных нейтрино по импульсам.

Также путем интегрирования функции распределения будет получено уравнение ограничения на массу стерильного нейтрино и углы смешивания из условия генерации теплой темной материи кэВ-ными стерильными нейтрино при всех температурах.

Глава 2

Термодинамика в расширяющейся Вселенной

2.1. Функции распределения частиц

Распределения по импульсам для всех частиц с хорошей точностью представимо в виде распределений Бозе-Эйнштейна и Ферми-Дирака для бозонов и фермионов соответственно:

$$f(\vec{p}) = \frac{1}{(2\pi)^3} \frac{1}{e^{\frac{E(\vec{p})-\mu}{T}} \mp 1} \quad (2.1)$$

В данной работе рассматриваются ультррелятивистские частицы вступающие во взаимодействие с плазмой, поэтому Лоренц-инвариант для частицы i -ого типа преобразуется в условие $E_i(\vec{p}_i) = |\vec{p}_i|$ при $m_i \ll T$.

Для температур при которых плазма становится нерелятивистской необходимо использовать классическое распределение Максвелла-Больцмана, так как экспонента в знаменателе для распределений Бозе-Эйнштейна и Ферми-Дирака подавляет ± 1 . Однако, так как все выкладки кроме непосредственной подстановки $f_\alpha, n_i(T), \rho_i(T)$ и Лоренц-инварианта меняться не будут, а также так как рассматриваемый в работе диапазон температур превышает 1 МэВ (при котором теплая темная материя перестает быть релятивистской) — данные поправки в работе рассмотрены не будут.

2.2. Плотность числа частиц, плотность энергии и плотность энтропии с учетом химического потенциала μ_i

Исходя из ультррелятивистского приближения и определения плотности числа частиц получим n_i для частицы типа i с соответствующим для нее числом степеней свободы g_i и химическим потенциалом μ_i при фиксированной температуре T :

$$n_i = \begin{cases} \frac{g_i T^3}{\pi^2} \zeta(3) + \frac{g_i T^2 \mu_i}{6} + \dots & \text{для бозонов} \\ \frac{3}{4} \frac{g_i T^3}{\pi^2} \zeta(3) + \frac{g_i T^2 \mu_i}{12} + \dots & \text{для фермионов} \end{cases} \quad (2.2)$$

В данном выводе пренебрегается последним членом суммы интегралов с μ_i^2 , так как полагаем $\frac{\mu_i^2}{2\pi^2}$ достаточно малым.

Аналогично можно получить плотности энергии для частиц i -го типа:

$$\rho_i = \begin{cases} g_i \frac{\pi^2}{30} T^4 + \frac{3g_i T^3 \mu_i}{\pi^2} \zeta(3) + \dots & \text{для бозонов} \\ \frac{7}{8} g_i \frac{\pi^2}{30} T^4 + \frac{9g_i T^3 \mu_i}{4\pi^2} \zeta(3) + \dots & \text{для фермионов} \end{cases} \quad (2.3)$$

где так же пренебрегается членами с μ_i^2 и μ_i^3 .

Суммируя ρ_i по всем типам частиц являющихся ультрарелятивистскими при заданной температуре T , с учетом условия $\mu_\alpha = -\mu_{\bar{\alpha}}$ получим:

$$\rho(T) = g_* \frac{\pi^2}{30} T^4 \quad (2.4)$$

где $g_* = \sum_i g_{i \text{ бозонов}} + \frac{7}{8} \sum_k g_{k \text{ фермионов}}$ - эффективное число степеней свободы

Аналогичный результат в силу пренебрежения μ_i более высоких четных порядков можно получить решая интегралы аналитически с условием $\mu_i = 0$, это вычислительно гораздо проще, но не позволяет учесть вклад лептонной асимметрии в эффективный Гамильтониан смешивания (асимметрия отсутствует).

Так как в данной задаче темная материя ультрарелятивистская, то ее уравнение состояния можно представить в виде $p = \rho/3$, тогда уравнение плотности энтропии имеет следующий вид:

$$s_i = \frac{p_i + \rho_i}{T} = \frac{4}{3} \begin{cases} g_i \frac{\pi^2}{30} T^3 + \frac{3g_i T^2 \mu_i}{\pi^2} \zeta(3) + \dots & \text{для бозонов} \\ \frac{7}{8} g_i \frac{\pi^2}{30} T^3 + \frac{9g_i T^2 \mu_i}{4\pi^2} \zeta(3) + \dots & \text{для фермионов} \end{cases} \quad (2.5)$$

$$s(T) = g_* \frac{2\pi^2}{45} T^3 \quad (2.6)$$

2.3. Эффективные степени свободы

Для большей части времени остывания Вселенной степени свободы g_i и следовательно g_* считаются линейно из некоторого сглаженного ступенчатого приближения с хорошей точностью, однако в период КХД - перехода считать эффективные степени свободы таким методом не представляется возможным, поскольку мы не знаем на данный момент точно ни состава плазмы, ни зависимости этого состава от температуры, а значит не можем посчитать степени свободы аналитически для каждой температуры перехода - необходимо построение модели протекающих реакций для всех температур и последующее численное моделирование. Модель также должна отражать известные нам экспериментальные данные до и после эпохи КХД.

Однако, как правило, в случаях, когда аналитически получить функцию для всех температур невозможно, используют полученные из эксперимента наблюдаемые величины. Откуда в рамках данной задачи можно заметить, что полученные при помощи решеточных вычислений значения для эффективного числа степеней свободы [2] хорошо ложатся на гладкое ступенчатое приближение, даже в рамках КХД-перехода:

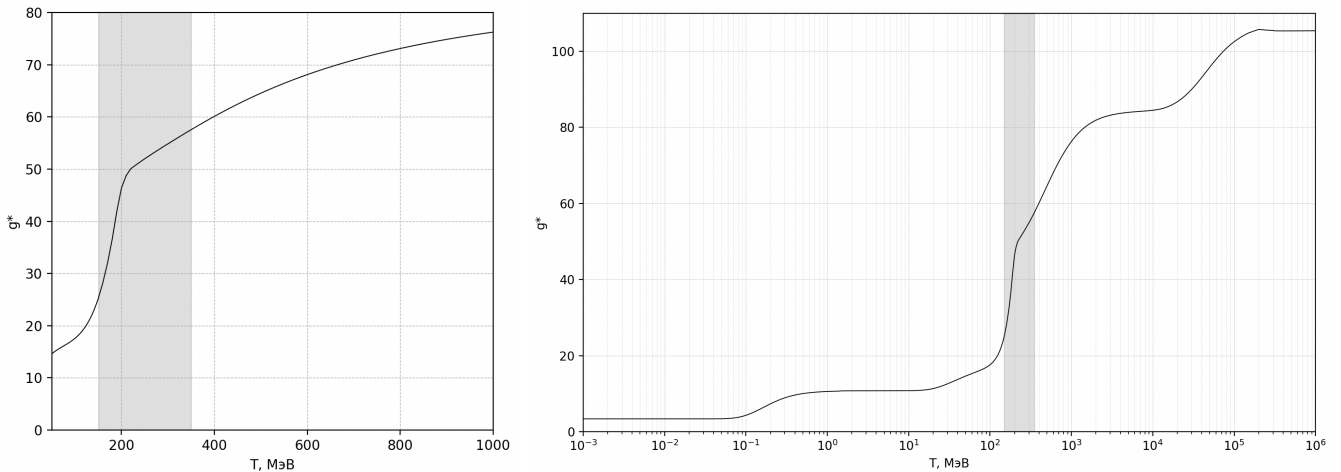


Рис. 2.1: Зависимость $g_*(T)$

На данном графике серым цветом отмечена интересующая нас зона КХД-перехода - резкий скачок эффективных степеней свободы позволяет говорить в ступенчатом приближении.

Остальные значения эффективных степеней свободы также можно сравнить с полученными аналитически при помощи формулы:

$$g_* = \sum_i (2s_i + 1) \left(\frac{T_i}{T}\right)^4_{\text{бозонов}} + \frac{7}{8} \sum_k (2s_k + 1) \left(\frac{T_k}{T}\right)^4_{\text{фермионов}} \quad (2.7)$$

где s - спиновое квантовое число соответствующей частицы, а $2s + 1$ - число

спиновых состояний, соответственно. Исключением является фотон, который имеет спин $\bar{s} = \bar{1}$, но так как он также безмассовый и имеет 2 поляризации, то для него реализуются только два спиновых состояния ± 1 .

Также, здесь и далее считается, что температура ультрарелятивистских частиц одинакова и равна температуре фотонов (температуре Вселенной в рассматриваемый момент времени), тогда множитель осуществляющий искусственный переход от T_i - температуры рассматриваемых частиц, к T - температуре Вселенной $\left(\frac{T_i}{T}\right)^4 = 1$.

Вычисленные аналитически значения эффективного числа степеней свободы приведенные в таблице совпадают с усредненными значениями решеточных вычислений для температур различных "плато" полученных при помощи **sterile-dm** кода [3] (см. Рис. 2.1):

$T, \text{ МэВ}$	10	100	300	1000
g_*	10,75	14,25	58,25	68,75

2.4. Вывод параметра Хаббла для различных температур из решения уравнения Эйнштейна

Для случая радиационно-доминированной стадии ($T > 0,8 \text{ эВ}$) при которой существенно преобладание ультрарелятивистского вещества, уравнение состояния имеет вид $p = \rho_{rad}/3$. Тогда согласно решению Фридмана для случая пространственно - плоской ($\varkappa = 0$) однородной изотропной Вселенной и с учетом полученного ранее выражения для плотности энергии всех ультрарелятивистских частиц $\rho_{rad} \equiv \rho$ (2.4) имеем:

$$H^2 \equiv \left(\frac{\dot{a}}{a}\right)^2 = \frac{8\pi G}{3}\rho - \frac{\varkappa}{a^2} \quad (2.8)$$

$$H^2(T) = \frac{8\pi G}{3}\rho(T) = \frac{8\pi G}{3}g_*\frac{\pi^2}{30}T^4 = g_*\frac{4\pi^3 G}{45}T^4 \quad (2.9)$$

$$H(T) = \sqrt{g_*\frac{4\pi^3 G}{45}T^4} \ll \Gamma \quad (2.10)$$

где $\Gamma \sim \alpha^2 T$ - темп протекания реакции, α^2 - сечение процесса

Последнее выражение является условием равновесности любого протекающего во Вселенной процесса при текущей T . Для процессов осцилляций, как и большинства процессов данный критерий является существенным.

Глава 3

Нейтринные осцилляции в плазме

Для нахождения спектра стерильных нейтрино необходимо понимание того какие процессы приводят к их появлению и какие факторы могут эти процессы ускорить или замедлить. Единственным методом получения стерильных нейтрино являются осцилляции, это обусловлено теми условиями которые мы накладываем на эту модель, а именно - отсутствие взаимодействия стерильных нейтрино с веществом.

Рассматривая процесс завершения осцилляций данного нейтрино в плазме, как столкновение осциллирующего активного нейтрино и частицы плазмы с последующим вылетом или активного нейтрино продолжающего осцилляции, или стерильного нейтрино выходящего из взаимодействия, становится очевидно, что наличие вещества (плазмы) увеличивает темп производства стерильных нейтрино.

В данной работе для простоты вычисления матрицы смешивания рассмотрен случай $N_s = 1$, а также пренебрегается смешиванием $\nu_\alpha \rightarrow \nu_\beta$ активных нейтрино между собой и $\nu_s \rightarrow \nu_\alpha$ - обратными осцилляциями из стерильных нейтрино в активные.

Рассмотрим стандартный механизм осцилляций в вакууме и изменения, вносимые в полученные уравнения при осцилляциях в плазме с учетом лептонной асимметрии.

3.1. Механизм смешивания активных нейтрино типа α со стерильными нейтрино в вакууме

Для смешивания 2 типов нейтрино можно записать переход от флейвонного базиса к массовому базису [1] следующим образом:

$$\begin{bmatrix} \nu_\alpha \\ \nu_s \end{bmatrix} = \begin{pmatrix} \cos \theta_\alpha & \sin \theta_\alpha \\ -\sin \theta_\alpha & \cos \theta_\alpha \end{pmatrix} \begin{bmatrix} \nu_1 \\ \nu_2 \end{bmatrix} \quad (3.1)$$

В данном случае матрица смешивания представляет собой сопряженную матрицу поворота в одной плоскости для одного угла Каббиво в отсутствии фаз, однако в произвольном случае перехода между базисами матрица $U_{\alpha,i}^*$ определяется уже несколькими углами Каббиво и фазами.

Откуда векторы состояний имеют вид:

$$|\nu_\alpha\rangle = \cos\theta_\alpha|\nu_1\rangle + \sin\theta_\alpha|\nu_2\rangle \quad |\nu_s\rangle = -\sin\theta_\alpha|\nu_1\rangle + \cos\theta_\alpha|\nu_2\rangle \quad (3.2)$$

Учитывая, что для стерильных нейтрино $m_s \gg m_\alpha$, а также полагая что $m_2 > m_1$ углы смешивания малы — $\sin\theta_\alpha \ll 1$ можно положить $|\nu_2\rangle \approx |\nu_s\rangle$, откуда $m_2 = m_s$, тогда вероятность осцилляций в вакууме $\alpha \rightarrow s$ можно записать в следующем виде:

$$P(\alpha \rightarrow s) = \sin^2 2\theta_\alpha \sin^2 \left(\frac{\Delta m_{s,1}^2}{4E} L \right) \quad (3.3)$$

$$t_\alpha^{vac} = \frac{2E}{\Delta m_{s,1}^2} \approx \frac{2E}{m_s^2} \quad (3.4)$$

Перепишем уравнение для вакуумных осцилляций с учетом, что длина осцилляций $L \approx t$ при $E \gg m_s$:

$$P(\alpha \rightarrow s) = \sin^2 2\theta_\alpha \sin^2 \left(\frac{t}{2t_\alpha^{vac}} \right) \quad (3.5)$$

Здесь и далее, если не оговорено обратного, запись $\nu_\alpha \rightarrow \nu_s$ преобразуется в $\alpha \rightarrow s$, где $\alpha = e, \mu, \tau$.

3.2. Взаимодействие активных нейтрино с плазмой

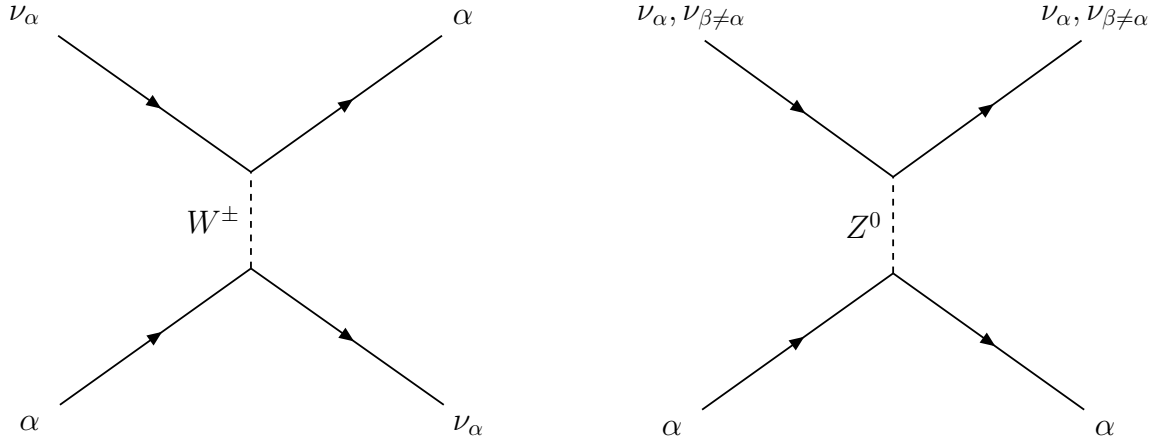
Остановимся подробнее на взаимодействии активных нейтрино с плазмой во время осцилляций. Данное явление называется эффектом Михеева - Смирнова - Вольфенштейна (MSW) и состоит в резонансном когерентном рассеянии активных нейтрино на частицах плазмы. Для этого необходимо внести поправку на взаимодействие в эффективный Гамильтониан смешивания [1]:

$$H = U_{\alpha,i}^* \frac{M^2}{2E} U_{\alpha,i} + V_{int} \quad (3.6)$$

где $M = \begin{pmatrix} m_\alpha & 0 \\ 0 & m_s \end{pmatrix}$ - массовая матрица,

$V_{int} = \begin{pmatrix} V_{\alpha\alpha} & 0 \\ 0 & 0 \end{pmatrix}$ - матрица взаимодействия ν_α с $\alpha = e, \mu, \tau$ в плазме

Матрица взаимодействия включает только взаимодействие с лептонами того же типа, что и смешивающееся активное нейтрино, это обусловлено тем, что в слабых взаимодействиях вероятность рассеяния ν_α на α по W^\pm каналу гораздо выше, чем по нейтральному Z^0 каналу (уже для всех типов лептонов).



Упругое рассеяние активных нейтрино на лептоне типа $\alpha = e, \mu, \tau$.

Однако, как будет показано далее, при осцилляциях могут возникать также взаимодействия между осциллирующим нейтрино и нейтрино плазмы, что при наличии лептонной асимметрии также дает вклад в матрицу взаимодействия уже по первому порядку G_F . Из электрослабой теории:

$$V_{\alpha\alpha} = \sqrt{2}G_F n_\alpha(L) \quad (3.7)$$

Перепишем уравнение (3.5) аналогично для плазмы:

$$P(\alpha \rightarrow s) = \sin^2 2\theta_\alpha^{\text{пл.}} \sin^2 \left(\frac{t}{2t_\alpha^{\text{пл.}}} \right) \quad (3.8)$$

$$\langle P(\alpha \rightarrow s) \rangle = \frac{1}{2} \sin^2 2\theta_\alpha^{\text{пл.}} \quad (3.9)$$

Где фактор $\frac{1}{2}$ обусловлен усреднением вероятности по нескольким периодам осцилляций, при этом:

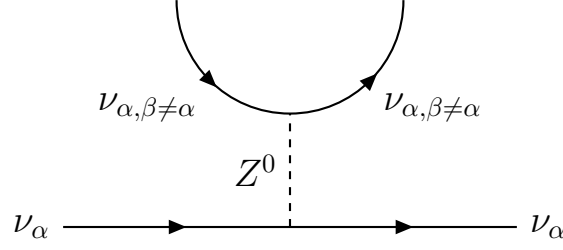
$$t_\alpha^{\text{пл.}} = \frac{t_\alpha^{\text{vac}}}{\sqrt{\sin^2 2\theta_\alpha + (\cos 2\theta_\alpha - V_{\alpha\alpha} t_\alpha^{\text{vac}})^2}} \quad (3.10)$$

$$\sin^2 2\theta_\alpha^{\text{пл.}} = \frac{t_\alpha^{\text{пл.}2}}{t_\alpha^{\text{vac}2}} \sin^2 2\theta_\alpha \quad (3.11)$$

Подставляя второе выражение в первое и учитывая что углы смешивания малы, получим:

$$\sin^2 2\theta_\alpha^{\text{пл.}} = \frac{\sin^2 2\theta_\alpha}{(1 - V_{\alpha\alpha} t_\alpha^{\text{vac}})^2} \quad (3.12)$$

3.3. Лептонная асимметрия и ее вклад в добавочный член $V_{\alpha\alpha}$ взаимодействия ν_α с плазмой



Взаимодействие активных нейтрино с нейтрино плазмы.

Рассмотрим вклад лептонной асимметрии в добавочный член взаимодействия с плазмой. Из уравнения (3.7):

$$V_{\alpha\alpha} = \sqrt{2}G_F \left[2(n_{\nu_\alpha}(T) - n_{\bar{\nu}_\alpha}(T)) + \sum_{\beta \neq \alpha} (n_{\nu_\beta}(T) - n_{\bar{\nu}_\beta}(T)) \right] \quad (3.13)$$

где слагаемое по α суммируется дважды из-за неразличимости переходов между тождественными фермионами в плазме $\nu_\alpha \longleftrightarrow \nu_\alpha$.

С учетом эпохи e^-e^+ аннигиляции из лептон-фотонного отношения имеем:

$$\frac{n_{\nu_\alpha}(T) - n_{\bar{\nu}_\alpha}(T)}{n_\gamma(T)} = \frac{11}{4} \frac{n_{\nu_{\alpha,0}} - n_{\bar{\nu}_{\alpha,0}}}{n_{\gamma,0}} \quad (3.14)$$

$$\Delta n_{\nu_\alpha}(T) = \frac{11}{4} \frac{n_\gamma(T)}{n_{\gamma,0}} \Delta n_{\nu_{\alpha,0}} = \frac{11}{4} \frac{T^3}{T_0^3} \frac{T_0^2 \mu_{\nu_\alpha}}{6} = \frac{11}{24} \frac{T^3 \mu_{\nu_\alpha}}{T_0} \quad (3.15)$$

где фактор $\frac{11}{4}$ соответствует отношению кубов температур до эпохи e^-e^+ аннигиляции и после. Также можно заметить что благодаря ненулевому хим. потенциалу μ_i появляется лептонная асимметрия, что и дает основной вклад во взаимодействие с плазмой.

$$V_{\alpha\alpha} = \frac{11\sqrt{2}}{24T_0} T^3 G_F \left[2\mu_{\nu_\alpha} + \sum_{\beta \neq \alpha} \mu_{\nu_\beta} \right] \quad (3.16)$$

где хим. потенциал нейтрино типа α в плазме при температуре T :

$$\mu_{\nu_\alpha}(T) = L_{\nu_\alpha} \mu_{L_\alpha}(T)$$

примем что $\mu_\nu = 0.01 T$ для всех типов активных нейтрино, что справедливо благодаря осцилляциям активных нейтрино между собой.

3.4. Темп производства стерильных нейтрино

При наличии термодинамического равновесия (2.10) (для $T \gtrsim 3$ МэВ) плотность активных нейтрино в среде не меняется, однако в процессе осцилляций с некоторой вероятностью происходит рождение стерильных нейтрино, сразу же выходящих из взаимодействия (мы пренебрегаем обратными осцилляциями) из-за чего их плотность растет с течением времени. Таким образом темп производства стерильных нейтрино в осцилляциях [1] отражает усредненную вероятность переходов (3.9) на темп потери когерентности волнового пакета нейтрино в плазме, т.к. при рассеянии активного нейтрино происходит коллапс волновой функции:

$$\Gamma_{\alpha \rightarrow s} = \frac{1}{2} \Gamma_{\alpha} \langle P(\alpha \rightarrow s) \rangle = \frac{1}{4} \sin^2 2\theta_{\alpha}^{\text{пл.}} \Gamma_{\alpha} \quad (3.17)$$

Фактор 1/2 соответствует тому что волновой пакет во время осцилляций половину времени находится в состоянии стерильных нейтрино, которые не взаимодействуют с плазмой.

$$\Gamma_{\alpha} = \frac{7\pi}{24} G_F^2 T^4 E_{\nu_{\alpha}} \left(1 + \frac{4}{9} \delta_{\alpha}^e \right) \quad (3.18)$$

Для температур значительно ниже 100 МэВ, присутствует практически полное доминирование e - компоненты в плазме, поэтому темп взаимодействия с ней будет выше, чем с τ и μ .

Однако, данная формула учитывает взаимодействие только в лептонном секторе, на деле же для температур выше 100 МэВ необходимо проводить качественный анализ адронов в плазме и строить модель учитывающую также взаимодействия с адронами, возникающими в КХД-переход. По большей части к таким адронам относятся легкие мезоны, такие как например π - мезон.

Глава 4

Стерильные нейтрино как частицы темной материи

Так как при рождении и достаточно продолжительное время после стерильные нейтрино являются ультрарелятивистскими, мы полагаем, что при достаточной массе они могут являться частицами теплой темной материи. Наиболее весомым аргументом в выборе модели с WDM служит проблема карликовых галактик и малых неоднородностей, которая решается за счет высокой энергии частиц темной материи, разлетающихся достаточно быстро из областей с высокой плотностью энергии темной материи и "оседая" в областях с низкой плотностью энергии и как следствие - происходят "замывания" и подавление образовавшихся на ранних этапах неоднородностей темной материи во Вселенной. Этот процесс продолжается до тех пор пока частицы темной материи остаются релятивистскими.

Для получения ограничений на массу стерильных нейтрино и угол смешивания при которых их можно рассматривать как частицы теплой темной материи - необходимо получить их спектр в общем виде от температуры и приведенной по температуре энергии, а затем проинтегрировать полученное выражение.

4.1. Уравнение Больцмана

Запишем уравнение Больцмана [4]:

$$\frac{df_s}{dt} = \Gamma_{\alpha \rightleftharpoons s} [f_\alpha - f_s] \quad (4.1)$$

Как и ранее, учтем что обратные процессы (в рамках данной задачи) маловероятны и внесут лишь небольшую поправку в результат, тогда:

$$\frac{df_s}{dt} = \Gamma_{\alpha \rightarrow s} f_\alpha \quad (4.2)$$

где f_α - с хорошей точностью описывается распределением Ферми - Дирака по (\vec{p}, t) .

$$\frac{df_s}{dt} = \frac{\partial f_s}{\partial t} + \frac{\partial f_s}{\partial \vec{p}} \frac{\partial \vec{p}}{\partial t} \quad (4.3)$$

С учетом, что $\vec{p} \propto 1/a$, где a - масштабный фактор:

$$\frac{\partial \vec{p}}{\partial t} \propto -\frac{\dot{a}}{a^2} = -\frac{H}{a} = -H\vec{p} \quad (4.4)$$

$$\frac{\partial f_s}{\partial t} - H\vec{p} \frac{\partial f_s}{\partial \vec{p}} = \Gamma_{\alpha \rightarrow s} f_\alpha \quad (4.5)$$

Тогда, т.к. частицы ультрарелятивистские $E \gg m$ и $E \approx |\vec{p}|$, а плазма изотропна, то:

$$T(t) \propto \frac{const}{a(t)} \quad (4.6)$$

$$\frac{\partial f_s}{\partial t} = \frac{\partial f_s}{\partial T} \frac{\partial T}{\partial a} \frac{\partial a}{\partial t} = -\left(\frac{\dot{a}}{a^2}\right) \frac{\partial f_s}{\partial T} = -HT \frac{\partial f_s}{\partial T} \quad (4.7)$$

$$-H \left(T \frac{\partial f_s}{\partial T} + E \frac{\partial f_s}{\partial E} \right) = \Gamma_{\alpha \rightarrow s} f_\alpha \quad (4.8)$$

Сделаем замену переменных: $y \equiv E_\nu/T$

$$-H \left(T \frac{\partial f_s}{\partial T} + \frac{E}{T} \frac{\partial f_s}{\partial \frac{E}{T}} \right) = \Gamma_{\alpha \rightarrow s} f_\alpha \quad (4.9)$$

$$\left(T \frac{\partial f_s}{\partial T} + y \frac{\partial f_s}{\partial y} \right) = -\frac{1}{H} \Gamma_{\alpha \rightarrow s} f_\alpha \quad (4.10)$$

$$\left(\frac{\partial f_s(y, T)}{\partial T} \right)_y = -\frac{1}{HT} \Gamma_{\alpha \rightarrow s} f_\alpha \quad (4.11)$$

Интегрируя полученное выражение по T и подставляя результат (3.17):

$$f_s(y, T) = -\frac{1}{4} \int_{\infty}^T \sin^2 2\theta_\alpha^{\text{пл.}} \Gamma_\alpha f_\alpha \frac{1}{HT'} dT' \quad (4.12)$$

где f_α с учетом замены имеет вид:

$$f_\alpha = \frac{1}{(2\pi)^3} \frac{1}{e^{y - \frac{\mu_\alpha}{T}} + 1} \quad (4.13)$$

4.2. Спектр стерильных нейтрино при наличии лептонной асимметрии

При итоговой подстановке всех полученных ранее величин $\sin^2 2\theta_\alpha^{\text{пл.}}$ (3.12), $V_{\alpha\alpha}$ (3.16), t_{vac} (3.4), Γ_α (3.18), f_α (4.13), $H(T)$ (2.10) входящих в функцию распределения $f_s(y, T)$ (4.12) и замены $\nu_{\alpha,s} \rightarrow \alpha, s$ получаем интегральное уравнение, зависящее от $y, T, m_s, \sin^2 2\theta_\alpha$ и от некоторым кусочным образом заданной функции для эффективных степеней свободы $g_*(T)$:

$$\begin{aligned}
f_s(y, T) &= -\frac{7\pi}{24} \frac{1}{8\pi^3} G_F^2 \left(1 + \frac{4}{9} \delta_\alpha^e\right) \sin^2 2\theta_\alpha \int_\infty^T \frac{T'^5 y}{\left(1 - \frac{11\sqrt{2}}{12 T_0} G_F T'^4 \frac{y}{m_s^2} \left[2\mu_\alpha + \sum_{\beta \neq \alpha} \mu_\beta\right]\right)^2} \times \\
&\times \frac{1}{\left(e^{y - \frac{\mu_\alpha}{T'}} + 1\right) \sqrt{\frac{4\pi^3 G}{45} T'^4 g_*(T') T'}} dT' = - \underbrace{\frac{7 G_F^2}{512 \pi^4} \sqrt{\frac{5}{\pi G}} \left(1 + \frac{4}{9} \delta_\alpha^e\right)}_{C(\alpha)} \sin^2 2\theta_\alpha \times \\
&\times \int_\infty^T \frac{T'^2 y dT'}{\sqrt{g_*(T')} \left(1 - \frac{11\sqrt{2}}{12 T_0} G_F T'^4 \frac{y}{m_s^2} \left[2\mu_\alpha + \sum_{\beta \neq \alpha} \mu_\beta\right]\right)^2 \left(e^{y - \frac{\mu_\alpha}{T'}} + 1\right)} = \\
&= - C(\alpha) \sin^2 2\theta_\alpha \int_\infty^T \frac{T'^2 y dT'}{\sqrt{g_*(T')} \left(1 - \frac{11\sqrt{2}}{12 T_0} G_F T'^4 \frac{y}{m_s^2} \left[2\mu_\alpha + \sum_{\beta \neq \alpha} \mu_\beta\right]\right)^2 \left(e^{y - \frac{\mu_\alpha}{T'}} + 1\right)} \quad (4.14)
\end{aligned}$$

где $C(\alpha)$ - постоянная определенная выше, зависящая от типа активного нейтрино и в общем случае от порядка рассматриваемых температур (как упоминалось ранее при $T > 100$ МэВ взаимодействие становится близким к равновероятному)

4.3. Получение ограничений на параметры смешивания

Зная спектр стерильных нейтрино при остывании Вселенной и плотность энергии темной материи $\rho_\Lambda(T)$ можно получить условия на угол смешивания и массу стерильного нейтрино при фиксированной температуре в каждый момент. Для этого необходимо проинтегрировать выражение для спектра (4.14) как плотность энергии стерильных нейтрино и положить, что стерильные нейтрино и есть частицы темной материи. А значит:

$$\rho_s(y, T) = 4\pi g_s \int E^3 f_s(y, T) dE = 4\pi g_s T^4 \int_0^{y_{max}} y^3 f_s(y, T) dy = \rho_\Lambda(T) \quad (4.15)$$

где y_{max} определяется при численном интегрировании как параметр обрезания графика при стремлении подынтегральной функции к нулю.

Далее будет рассматриваться ультрарелятивистская остывающая темная материя.

Получим среднюю плотность темной материи как функцию температуры из закона сохранения энтропии в сопутствующем объеме с учетом (2.6):

$$sa^3 = const \quad (4.16)$$

$$g_*(T)T^3 a^3 = g_{*,0}T_0^3 a_0^3 = const \quad (4.17)$$

$$\rho_\Lambda(T) a^3 = \rho_{\Lambda,0} a_0^3 \quad (4.18)$$

$$\rho_\Lambda(T) = \rho_{\Lambda,0} \frac{g_*(T)}{g_{*,0}} \frac{T^3}{T_0^3} \quad (4.19)$$

Введем критическую плотность энергии вещества во Вселенной ρ_c :

$$\rho_c \equiv \frac{3}{8\pi G} H_0^2 \quad (4.20)$$

$$\frac{\rho_\Lambda(T)}{\rho_c} = \frac{\rho_{\Lambda,0}}{\rho_c} \frac{g_*(T)}{g_{*,0}} \frac{T^3}{T_0^3} = \Omega_\Lambda \frac{g_*(T)}{g_{*,0}} \frac{T^3}{T_0^3} \quad (4.21)$$

$$\rho_\Lambda(T) = \Omega_\Lambda \frac{3H_0^2}{8\pi G} \frac{g_*(T)}{g_{*,0}} \frac{T^3}{T_0^3} \quad (4.22)$$

Подставим в выражение для плотности стерильных нейтрино (темной материи) (4.22) полученное уравнение спектра (4.14):

$$\rho_\Lambda(T) = 4\pi g_s C(\alpha) T^4 \sin^2 2\theta_\alpha \int_0^{y_{max}} y^3 \left[\int_T^\infty \frac{T'^2 y}{\sqrt{g_*(T')} \left(e^{y - \frac{\mu_\alpha}{T'}} + 1 \right)} \times \right. \\ \left. \times \frac{1}{\left(1 - \frac{11\sqrt{2}}{12} \frac{G_F T'^4}{T_0} \frac{y}{m_s^2} \left[2\mu_\alpha + \sum_{\beta \neq \alpha} \mu_\beta \right] \right)^2} dT' \right] dy = [g_s = 2] =$$

$$\begin{aligned}
&= 8\pi C(\alpha) T^4 \sin^2 2\theta_\alpha \int_0^{y_{max}} y^4 \left[\int_T^\infty \frac{T'^2}{\sqrt{g_*(T')} \left(e^{y - \frac{\mu_\alpha}{T'}} + 1 \right)} \times \right. \\
&\quad \left. \times \frac{1}{\left(1 - \frac{11\sqrt{2}}{12 T_0} G_F T'^4 \frac{y}{m_s^2} \left[2\mu_\alpha + \sum_{\beta \neq \alpha} \mu_\beta \right] \right)^2} dT' \right] dy \quad (4.23)
\end{aligned}$$

Откуда окончательно:

$$\begin{aligned}
\sin^2 2\theta_\alpha &= \frac{\rho_\Lambda(T)}{8\pi T^4 C(\alpha)} \left[\int_0^{y_{max}} y^4 \left[\int_T^\infty \frac{T'^2}{\sqrt{g_*(T')} \left(e^{y - \frac{\mu_\alpha}{T'}} + 1 \right)} \times \right. \right. \\
&\quad \left. \left. \times \frac{1}{\left(1 - \frac{11\sqrt{2}}{12 T_0} G_F T'^4 \frac{y}{m_s^2} \left[2\mu_\alpha + \sum_{\beta \neq \alpha} \mu_\beta \right] \right)^2} dT' \right] dy \right]^{-1} = \frac{g_*(T)}{g_{*,0}} \frac{3 H_0^2 \Omega_\Lambda}{16\pi^2 T G T_0^3 C(\alpha)} \times \\
&\quad \left[\int_0^{y_{max}} y^3 \int_T^\infty \frac{T'^2 dT'}{\sqrt{g_*(T')} \left(e^{y - \frac{\mu_\alpha}{T'}} + 1 \right) \left(1 - \frac{11\sqrt{2}}{12 T_0} G_F T'^4 \frac{y}{m_s^2} \left[2\mu_\alpha + \sum_{\beta \neq \alpha} \mu_\beta \right] \right)^2} dy \right]^{-1} \quad (4.24)
\end{aligned}$$

В полученном уравнении переменные величины – $\sin^2 2\theta_\alpha, m_s, y, T$. При построении зависимости используется следующий алгоритм: фиксируется m_s , затем фиксируется T и для него численно вычисляется двойной интеграл – сначала при фиксированном значении T (подынтегральная T' является переменной интегрирования), а затем по переменной y берется второй интеграл и обрезается значением y_{max} при стремлении подынтегрального выражения к нулю, процедура повторяется для всего интересующего нас диапазона температур и получается набор значений $\sin^2 2\theta_\alpha$ соответствующих заданному m_s .

Остальные величины или известны, или выражаются через указанные выше неизвестные: $T_0 = 2.7255$ К – средняя температура Вселенной в текущий момент времени, $g_{*,0} = g_\gamma = 2$ – эффективное число степеней свободы (при температуре T_0 ультрарелятивистскими свободными частицами являются только фотоны), $\Omega_\Lambda = 0.26$ – относительная плотность темной материи (заданная при температуре T_0), $H_0 = 70 \frac{\text{км}}{\text{с} \cdot \text{Мпк}}$ – усредненная постоянная Хаббла на текущий момент (здесь взято усредненное значение с целью избежать

обсуждений вопроса Хаббловского кризиса), $G_F = 1.1663787 \cdot 10^{-11} \text{ МэВ}^{-2}$ - константа Ферми, $G = 6.6743 \cdot 10^{-11} \frac{\text{М}^3}{\text{кг} \cdot \text{с}^2}$ - гравитационная постоянная.

К функциям относятся: $g_*(T)$ - некоторая аппроксимация функции полученной с помощью решеточных вычислений из [2, 3], $\mu_\nu(T) = 0,01 T$ - усредненное значение хим. потенциалов активных нейтрино.

Глава 5

Заключение

Полученное выше уравнение для спектра стерильных нейтрино было выведено из большого числа приближений и жестких ограничений, из-за чего имеет достаточно узкое применение, например, оно хорошо подходит для описания процессов протекающих в низкотемпературной лептонной плазме. К ним относятся процессы протекающие после КХД-перехода и до остывания ультрарелятивистских электронов. Поскольку данная модель требует дальнейших исследований и отказа от части искусственно наложенных ограничений, таких как ограничение на диапазон температур при подсчете темпа взаимодействия нейтрино с плазмой или ограничение на число осциллирующих типов активных нейтрино, моделирование полученных результатов не проводилось.

Все вносимые в дальнейшем поправки будут касаться величины получаемой из процесса осцилляций, а не термодинамики - вероятности осцилляций активных нейтрино в стерильное нейтрино.

В дальнейших расчетах и при последующем численном моделировании будет рассмотрена гораздо более широкая с точки зрения применимости и температур модель $3 + 1$ с учетом смешивания 3 типов активных нейтрино одновременно с одним стерильным, которая аналогично данной работе будет учитывать все 3 типа лептонных асимметрий.

В рамках этой модели будут также учтены взаимодействия нейтрино с адронами плазмы в КХД переход, что даст возможность говорить о полном температурном спектре в данной задаче.

Литература

- [1] Д.С. Горбунов, В.А. Рубаков, *Введение в теорию ранней Вселенной: Теория горячего Большого взрыва*, Изд. стереотип. - М.: ЛЕНАНД, 2023. - 616 с.
- [2] Mikko Laine, and York Schroder, *Quark mass thresholds in QCD thermodynamics*, BI-TP 2006/07, <https://arxiv.org/pdf/hep-ph/0603048>
- [3] Tejaswi Venumadhav, Francis-Yan Cyr-Racine, Kevork N. Abazajian and Christopher M. Hirata, *Sterile neutrino dark matter: A tale of weak interactions in the strong coupling epoch*, UCI-TR-2015-12, INT-PUB-15-032, <http://arxiv.org/pdf/1507.06655>, **sterile-dm** code, <https://github.com/ntveem/sterile-dm/tree/master/src>;
- [4] Scott Dodelson, and Lawrence M. Widrow, *Sterile Neutrinos as Dark Matter*, 22 Mar 1993, <https://arxiv.org/abs/hep-ph/9303287v1>;